

2023



Proiect – Acționarea roboților

Mecanism șurub-piuliță

Student: Orzan Cătălin-Marian

Specializare: Robotică anul 3, 134

Profesor îndrumător:

Asist. Drd. Ing. Maroșan Iosif-Adrian

Universitatea „Lucian Blaga” Sibiu

Facultatea de Inginerie

Cuprins

Cap I.....	3
Introducere – acționari electrice ale roboților.....	3
Cap II Model CAD sistem.....	4
Viziune de ansamblu asupra modelului.....	4
Componentele sistemului.....	4
Detalii.....	5
Model 2D și dimensiuni de gabarit.....	7
Cap III Calcule de dimensionare și alegerea motorului electric.....	8
3.1 Schema ciclului de lucru.....	8
3.2 Date de intrare.....	8
3.3 Calcule de dimensionare.....	9
Calculul vitezei liniare maxime.....	9
Calculul momentului static.....	9
Alegere preliminară.....	9
Momentul de inerție total.....	10
Accelerația unghiulară a motorului.....	10
Momentele dinamice.....	10
Verificare motor.....	10
Cap IV Acționarea electrică a sistemului.....	11
Bibliografie.....	13

Cap I

Introducere – acționari electrice ale roboților

Acționarea robotilor reprezintă o componentă esențială în domeniul tehnologiei moderne, având un impact semnificativ în diverse sectoare ale industriei și cercetării. Acest proiect se concentrează asupra dezvoltării și implementării unui mecanism specific de acționare a roboților, și anume mecanismul surub-piuliță.

Mecanismul surub-piuliță reprezintă o soluție ingenioasă și eficientă pentru transformarea mișcării de rotație în mișcare liniară sau de glisare. Acesta constă într-un surub filetat care se rotește, acționând o piuliță care se deplasează pe axa sa, generând astfel mișcare liniară. Fiind un mecanism cu un grad ridicat de precizie și control, el este frecvent utilizat în aplicațiile robotice care necesită mișcări lineare exacte și repetabile.

Scopul acestui proiect constă în proiectarea și dimensionarea unui mecanism surub-piuliță pentru acționarea unui robot. Prin utilizarea cunoștințelor și tehnicilor specifice din domeniul acționării robotilor, ne propunem să dezvoltăm un sistem funcțional și eficient, capabil să ofere mișcări precise și controlate în cadrul aplicației robotice respective.

Prin realizarea acestui proiect, vom avea ocazia de a explora diverse aspecte ale acționării robotilor, cum ar fi proiectarea mecanismelor, calculul și dimensionarea componentelor, dezvoltarea modelelor 3D și implementarea schemelor electrice. De asemenea, vom avea posibilitatea de a testa și evalua performanțele mecanismului surub-piuliță într-un context real, oferind astfel o contribuție în dezvoltarea și avansarea tehnologiilor de acționare a roboților.

Pentru realizarea acestui proiect, vom consulta și utiliza o serie de surse bibliografice relevante și specializate în domeniul acționării robotilor. Acestea ne vor furniza cunoștințele teoretice necesare pentru înțelegerea principiilor de funcționare ale mecanismului surub-piuliță, precum și informații practice referitoare la proiectare, dimensionare și implementare.

În concluzie, proiectul nostru are ca scop dezvoltarea unui mecanism surub-piuliță pentru acționarea unui robot, utilizând cunoștințele și tehnicile specifice din domeniul acționării robotilor. Prin intermediul acestui proiect, ne propunem să demonstrăm aplicabilitatea și eficiența acestui mecanism în contextul robotic și să contribuim la avansarea tehnologiilor de acționare a roboților.

Cap II Model CAD sistem

Modelul 3D pentru sistem a fost realizat în Catia V5R19. Atașat acestui document se regăsește și fișierul CAD, cu extensia .stp.

Viziune de ansamblu asupra modelului:

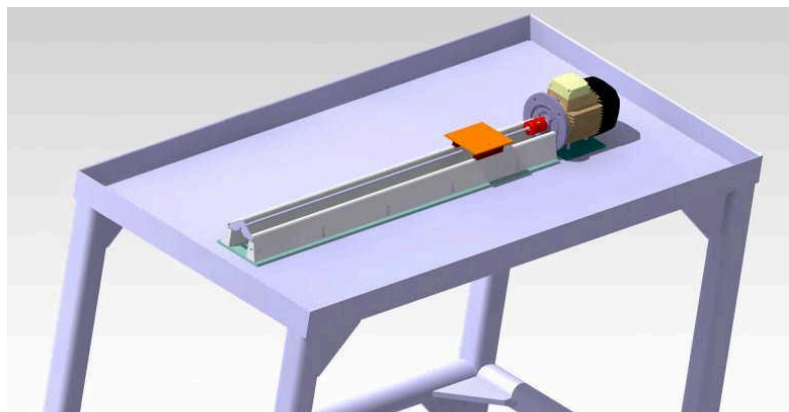


Fig 2.1 – Viziune de ansamblu asupra sistemului

Componentele sistemului sunt:

- **Motorul** (BN90L);
- **Placa de bază**, pentru susținerea componentelor principale și a permite amplasarea lui pe o masă sau legătura cu un element rigid, extern. Cu multiple alezaje realizate;
- **Placa motorului**, pentru susținerea motorului și a facilita legătura acesteia cu un element rigid, extern, prin două alezaje realizate;
- **Piloni de susținere** pentru așezarea motorului pe placa acestuia;
- **Cuplaj elastic**, pentru a realiza legătura dintre șurub și axul motorului, asigurând și protecția la suprasarcină;
- **Masă**, elementul mobil, cu multiple alezaje pentru a permite prinderea de piese pe suprafața acesteia;
- **Șurubul principal**, care permite deplasarea mesei prin mecanismul șurub-piluliță;
- **Pilulița**, prinsă de masă prin suportul de piuliță și încastrată cu ajutorul capacului;
- **Suport piuliță**, prins de masă prin două șuruburi;
- **Capac suport piuliță**;
- **Bare de ghidaj inferioare**, pentru a asigura susținerea mesei, atașate de placa de bază;
- **Bare de ghidaj superioare**, atașate de masă;
- **Bucse de prindere**, între motor și ghidajele inferioare, pentru o mai bună rigiditate a sistemului;
- **Element final de susținere a șurubului**, cu rol și de opritor pentru deplasarea maximă pe o direcție a mesei, fixată de ghidajele inferioare prin două șuruburi.

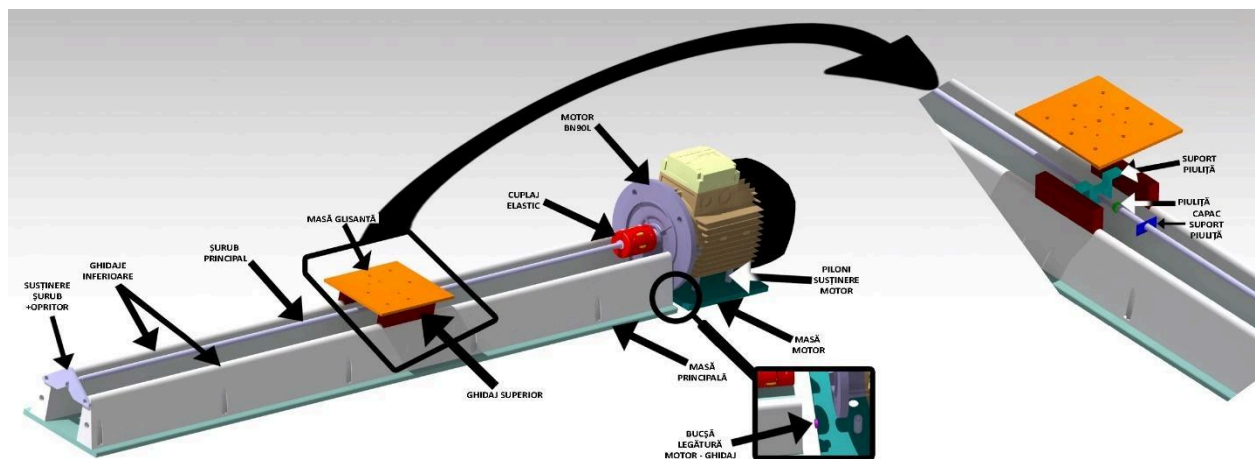


Fig 2.2 – Componentele sistemului

Detalii pentru o mai bună înțelegere a sistemului:

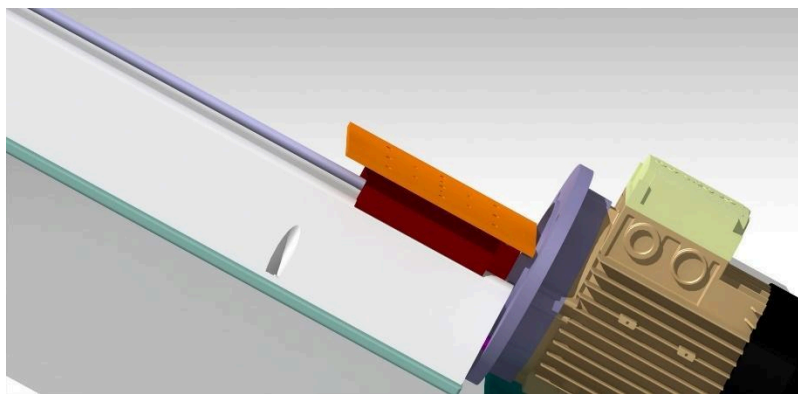


Fig 2.3 – Deplasarea, oprită de flanșa motorului

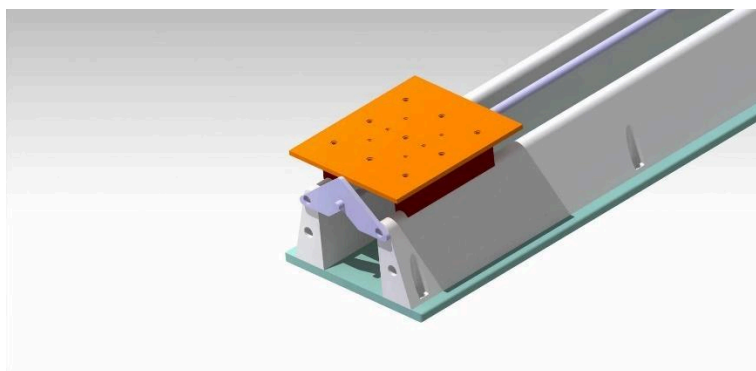


Fig 2.4 – Deplasarea, oprită de elementul de susținere al șurubului

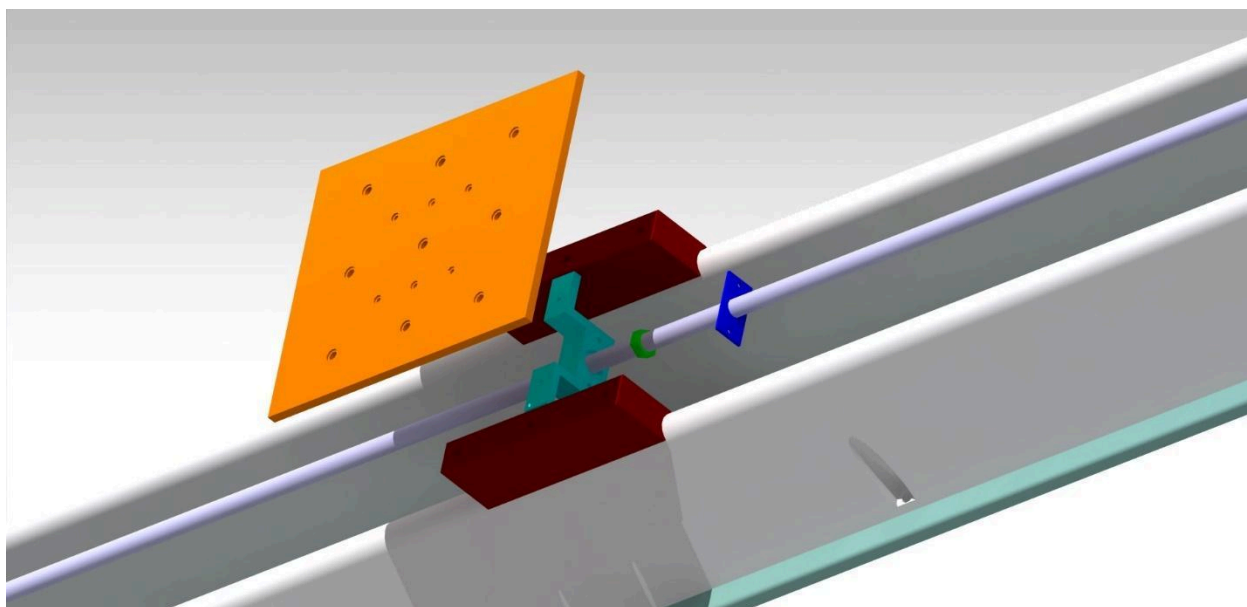


Fig 2.5 – Masa, elementul mobil

Precum se poate observa în Fig 2.5, masa se atașează de ghidaje prin 4 șuruburi. Atașat de masă este suportul piuliței, în care aceasta intră pe alezajul creat după dimensiunile ei. Pe o direcție, deplasarea piuliței este împiedicată de materialul din interiorul suportului, iar pe cealaltă, de capac, atașat cu două șuruburi. Astfel rămâne posibilă doar deplasarea dorită, de-a lungul filetului șurubului.

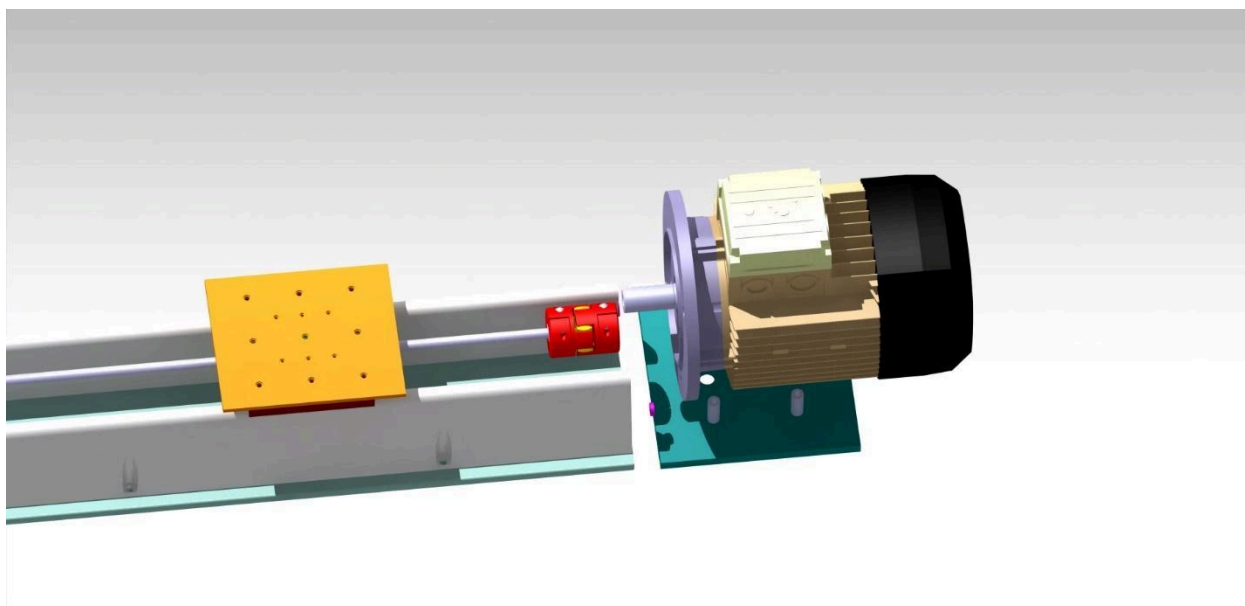


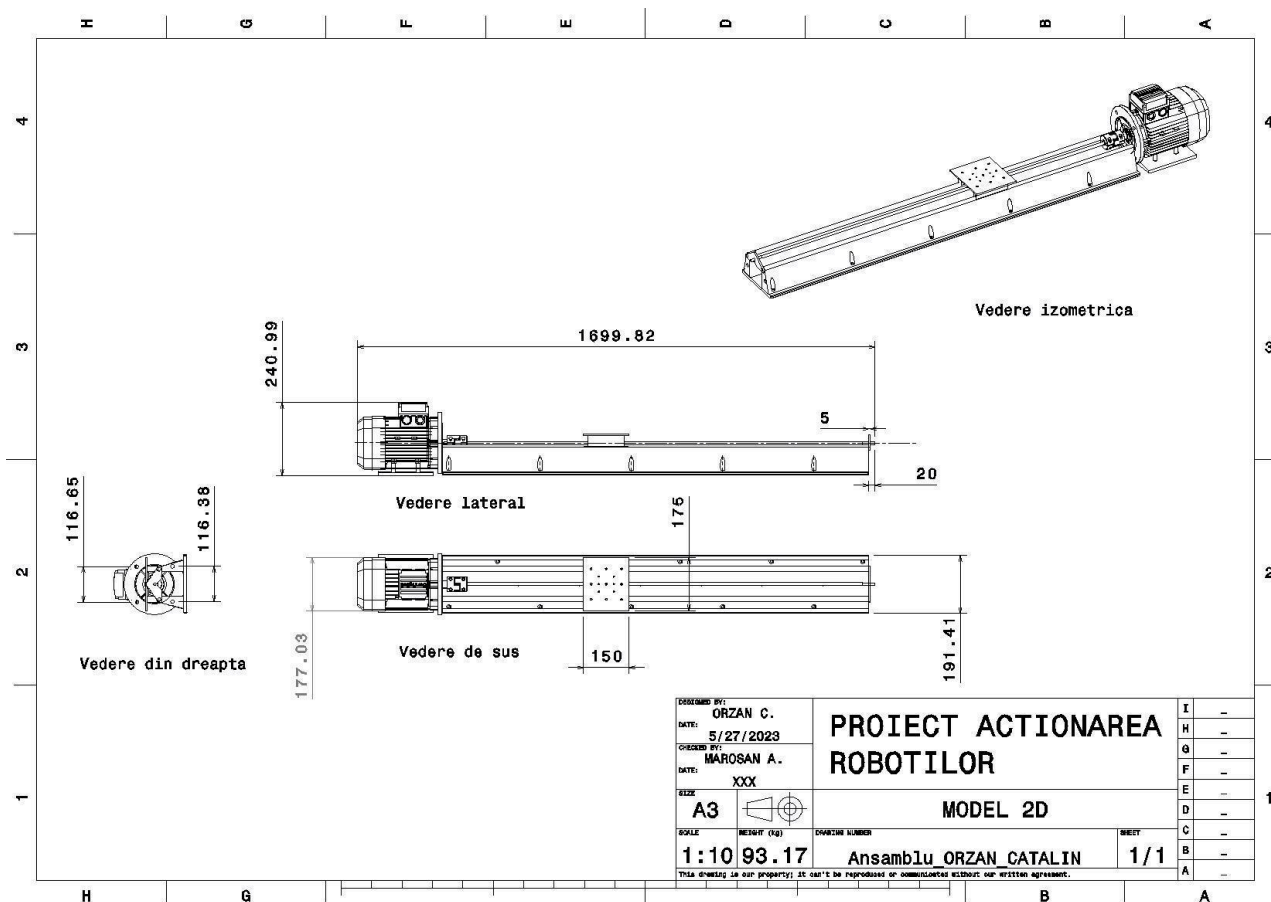
Fig 2.6 – Prinderea motorului și cuplajul elastic

În Fig 2.6 se poate observa cum motorul este susținut de piloni pentru a fi prins în șuruburi pe placa de susținere a acestuia. De asemenea, vizibile sunt și bușele pentru fixarea lui pe ghidajele inferioare. Cuplajul elastic, prin intermediul penei și al alezajului de pană, permite transmiterea mișcării între motor și șurubul principal.

Șuruburi necesare pentru fixarea elementelor:

- 10 șuruburi 8x15 pentru fixarea ghidajelor inferioare de masa principală;
- 6 șuruburi 6x10mm pentru fixarea mesei glisante pe ghidajele superioare;
- 4 șuruburi cap înfundat 5x50 pentru prinderea motorului de masa secundară;
- 2 șuruburi 12x20 pentru fixarea motorului de ghidajele inferioare;
- 2 șuruburi 10x20 pentru fixarea opritorului final;
- 2 șuruburi 5x10 pentru fixarea mesei de suport piuliță;
- 2 șuruburi 3x10 pentru fixarea capacului piuliței pe suportul de piuliță;
- Alte șuruburi de 5, 7, 10 și 14 pentru fixarea plăcii de bază pe elemente fixe sau pentru fixarea pieselor pe masa glisantă.

Model 2D și dimensiuni de gabarit:



$$J_{sb} = \frac{1}{16} \rho L \pi d_{sb}^4 = \frac{1}{16} 7800 * 1.3 * \pi * (9.824 * 10^{-3})^4 = 1.8545 * 10^{-5} \quad (4)$$

,unde ρ - densitatea corpului [kg/m³], pentru oțel $\rho=7800$ kg/m³

Momentul de inerție total:

$$J_t = J_M + J_{sb} + J_C + m_s \left(\frac{p_{sb}}{2\pi} \right)^2 = 33 * 10^{-4} + 1.8545 * 10^{-5} + 5 * 10^{-5} + 22.836 \left(\frac{10.872 * 10^{-3}}{2 * \pi} \right)^2 = 34.3 \quad (5)$$

,unde $J_c = 5 * 10^{-5}$ kg*m²

Accelerația unghiulară a motorului pe perioada fazelor de AR și AT:

$$\varepsilon_{M_{AR}} = -\varepsilon_{M_{RR}} = \frac{2\pi a_{AR}}{p_{sb}} = \frac{2\pi * 1.04}{10.872 * 10^{-3}} = 601.0405 \text{ rad/s} \quad (6)$$

$$\varepsilon_{M_{AT}} = \frac{2\pi a_{AT}}{p_{sb}} = \frac{2\pi * 0.624}{10.872 * 10^{-3}} = 360.62432 \text{ rad/s} \quad (7)$$

Momentele dinamice pe perioada fazelor AR și AT:

$$M_{d_{AR}} = -M_{d_{RR}} = J_t * \varepsilon_{M_{AR}} = 34.3692 * 10^{-4} * 601.0405 = 2.06573 \quad (8)$$

$$M_{d_{AT}} = -J_t * \varepsilon_{M_{AT}} = 34.3692 * 10^{-4} * 360.62432 = 1.23944 \quad (9)$$

Verificare motor:

$$M_{st_{AT}} + M_{d_{AT}} = 4.78433 + 1.23944 = 6.0624 \leq M_n = 7.8 \quad (10)$$

$$M_{d_{AR}} + M_{st_{AR}} = 1.55356 + 1.23944 = 2.793 \leq M_n = 7.8 \quad (11)$$

Motorul îndeplinește condițiile necesare, deci va rămâne cel ales pentru proiect.

Cap IV Acționarea electrică a sistemului

Schema de pornire a motorului a fost realizată utilizând FESTO FluidSIM 4.2, fișierul cu extensia .ct fiind atașat împreună cu acest document.

Pentru pornirea motorului și schimbarea de sens al acestuia, acesta trebuie acționat precum în Fig 4.1. Deși schema se adresează unui motor de curent continuu, pentru a acționa motorul ales conform catalogului se înlocuiește legarea acestuia de la bornele de 24V cu sistemul corespunzător de pornire a unui motor în curent trifazic.

Pentru schema de pornire și inversare a sensului se vor folosi 2 relee, cu contacte normal închise și normal deschise. Unul dintre contactele normal deschise va fi pus în paralel cu butonul de pe ramura lui, pentru a realiza automenținerea. Un contact normal închis se va afla pe ramura opusă, pentru a decupla ramura respectivă la acționarea sistemului în direcția dorită.

Pentru motorul de curent continuu, necesare vor fi 2 contacte care să inverseze bornele de la + la – la acționarea în diagonală. Pentru motorul trifazic, necesare vor fi inversarea fazei R cu L, utilizând câte 3 contactoare normal deschise pentru conexiunea de acționare într-un sens și alte 3 pentru celălalt sens. Alte elemente auxiliare: siguranțe fuzibile pentru legătura dintre motor și fazele curentului trifazic și un releu termic în serie cu butonul de oprire, cu 3 contacte normal închise pe conexiunea motorului, pentru a decupla la căldură excesivă și leduri de control.

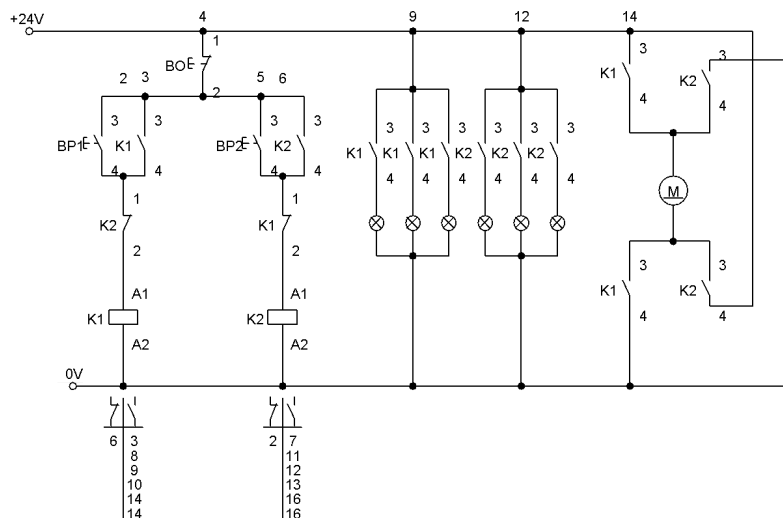


Fig 4.1 – Schema electrică

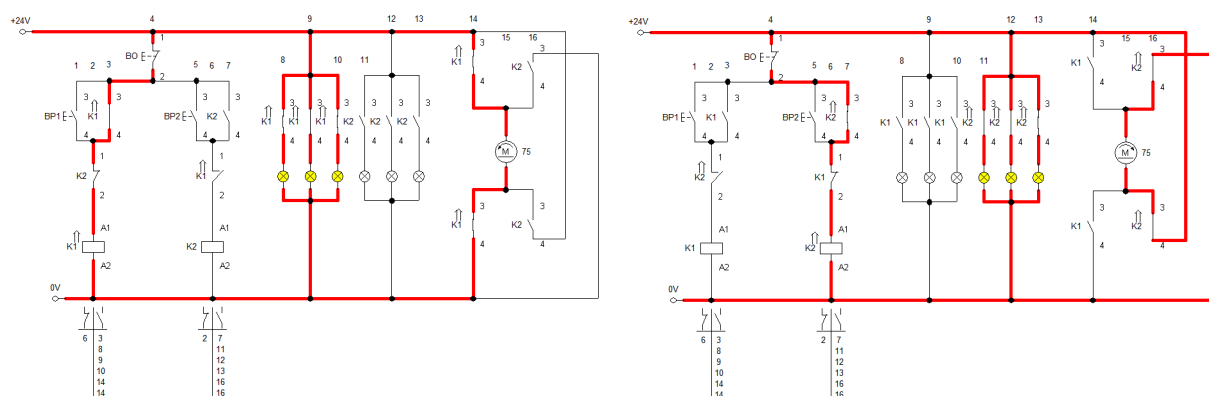


Fig 4.2 – Procesul de realizare al schimbării de sens

Faze	Comanda			Executie	
	BP1	BP2	B0	K1	K2
Sens 1	+	-	-	+	-
Sens 2	-	+	-	-	+
Oprire	+	-	-	-	-

Fig 4.3 – Ciclograma de comandă

Ciclograma de comandă ne arată cum, la acționarea unuia dintre butoanele de pornire, motorul se va învârti în celalalt. La acționarea butonului de oprire, acesta se va opri. La acționarea celui de-al doilea buton de pornire, aceasta se va învârti în sensul opus.

Pentru a acționa corezpunzător motorul ales, alimentarea lui trebuie realizată corespunzător unui motor trifazic, însă schema de comandă din figura 4.1. Pentru schimbarea sensului, conexiunea se va realiza astfel încât să inverseze conexiunile la fazele S și T (din R S T – fazele curentului trifazat).

Bibliografie

- S. N. Vyas, "Screw Drive Mechanisms for Robotics Applications," International Journal of Scientific Research in Science, Engineering and Technology (IJSRSET), vol. 5, no. 7, pp. 1892-1895, 2019.
- R. Kumar and R. K. Pandey, "Design and Analysis of Screw Jack for Load Capacity 800kg and Distance 200mm," International Journal of Engineering Research & Technology (IJERT), vol. 2, no. 9, pp. 87-92, 2013.
- H. Singh and S. K. Sharma, "Design, Modeling and Analysis of Power Screw Mechanism," International Journal of Mechanical and Production Engineering Research and Development (IJMPERD), vol. 7, no. 6, pp. 595-604, 2017.
- K. Verma and V. P. Agrawal, "Analysis of Mechanical Actuator for Power Screws Using MATLAB," International Journal of Engineering and Innovative Technology (IJEIT), vol. 4, no. 12, pp. 134-141, 2015.
- Materiale curs și laborator „Acționări electrice și ale roboților” – 2023, Maroșan Iosif-Adrian, Facultatea de Inginerie, Universitatea Lucian Blaga din Sibiu